Rumore in elettronica:

Termine generico, indica tutto cio' che viene rivelato/amplificato/registrato insieme al segnale e non vorremmo che ci fosse

Per estensione, definizione applicata anche a casi di 'segnali' non elettrici

Distinzione:

Disturbo / Interferenza = Origine esterna al circuito (definizione da specificare meglio)

Rumore = Origine interna al circuito
(come sopra)

Rumore:

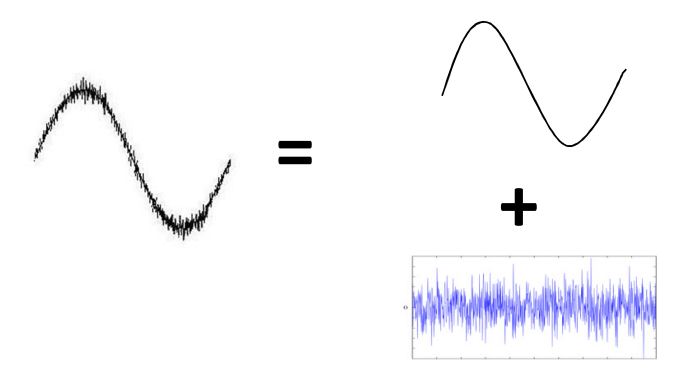
Parzialmente correlato al segnale

→ legato a *fluttuazioni statistiche* di grandezze elettriche caratteristiche del segnale stesso

Parzialmente scorrelato dal segnale

 \rightarrow legato a *fluttuazioni statistiche* di grandezze elettriche estranee al segnale, ma presenti nel circuito

Presente come somma statistica di tutti questi effetti che si aggiunge al segnale in uscita dal circuito di misura



Spesso 'riferito all'ingresso' per facilitare il confronto con il segnale di ingresso

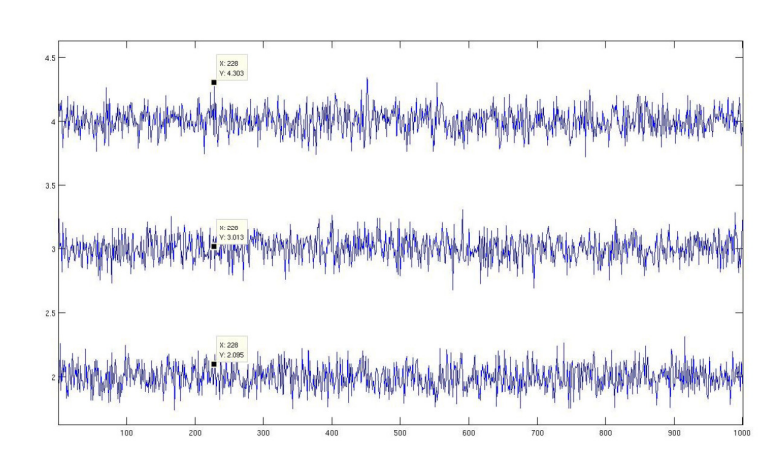
Grandezze elettriche caratterizzanti il rumore: Tensione, Corrente \rightarrow Grandezze (\rightarrow variabili) *stocastiche*

A ogni dato istante *t*:

Non definito il valore di V,I in quanto grandezze deterministiche Definita la probabilita' di osservare V,I

Evoluzione temporale di una variabile stocastica: Processo stocastico [Estensione dell'idea di variabile (deterministica) funzione di t a variabile (stocastica) funzione di t]

Quindi: Descrizione matematica del rumore termico in termini probabilistici/statistici
→ Tensione/Corrente di rumore come *processo stocastico*



Segnali deterministici:

$$s(t) = \frac{1}{2\pi} \int_{-\infty}^{+\infty} S(\omega) e^{j\omega t} d\omega$$

$$S(\omega) = \int_{-\infty}^{+\infty} s(t) e^{-j\omega t} dt$$

Segnali aperiodici:

$$E_s = \int_{-\infty}^{+\infty} s^2(t) dt$$
 Energia del segnale (quando l'integrale converge)

Segnali periodici, o aperiodici con E_s infinita:

$$P_s = \lim_{L \to \infty} \frac{1}{2L} \int_{-L}^{+L} |s(t)|^2 dt$$
 Potenza del segnale

$$P_s = \frac{1}{2\pi} \int_{-\infty}^{+\infty} W_s^{(P)}(\omega)$$

$$W_s^{(P)}(\omega) = \lim_{T \to \infty} \frac{|S(\omega)|^2}{T}$$
 Spettro di potenza/Densita' spettrale

Funzione di auto-correlazione:

$$K(t) = \int_{-\infty}^{+\infty} s^{*}(\tau) s(\tau + t) d\tau \qquad s(t) = \frac{1}{2\pi} \int_{-\infty}^{+\infty} S(\omega) e^{j\omega t} d\omega$$

$$K(t) = \int_{-\infty}^{+\infty} \left[\frac{1}{2\pi} \int_{-\infty}^{+\infty} S^{*}(\omega) e^{-j\omega t} d\omega \right] \cdot \left[\frac{1}{2\pi} \int_{-\infty}^{+\infty} S(\omega') e^{j\omega'(t+\tau)} d\omega' \right] d\tau =$$

$$= \frac{1}{4\pi^{2}} \int_{-\infty}^{+\infty} \int_{-\infty}^{+\infty} S^{*}(\omega) \cdot S(\omega') \cdot e^{j(\omega' - \omega)\tau} e^{j\omega' t} d\omega \cdot d\omega' \cdot d\tau$$

$$\delta(x) = \frac{1}{2\pi} \int_{-\infty}^{+\infty} dz e^{jzx}$$

$$\to K(t) = \frac{1}{2\pi} \int_{-\infty}^{+\infty} \int_{-\infty}^{+\infty} S^{*}(\omega) \cdot S(\omega') \cdot e^{j\omega' t} \cdot \delta(\omega' - \omega) \cdot d\omega \cdot d\omega' =$$

$$= \frac{1}{2\pi} \int_{-\infty}^{+\infty} |S(\omega)|^{2} e^{j\omega t} \cdot d\omega$$

→ Teorema di Wiener -Kinchin:

$$K(t) = \frac{1}{2\pi} \int_{-\infty}^{+\infty} W(\omega) e^{j\omega t} \cdot d\omega$$

Segnali stocastici, o aleatori:

Non e' nota la funzione X(t), informazione da:

Distribuzione di probabilita' $f_X(x;t)$

Momenti:

$$m[X(t)] = E[X(t)] = \int_{-\infty}^{+\infty} x f_X(x,t) dx = m(t)$$

...

$$m^{(k)}\left[X(t)\right] = E\left[X^{k}(t)\right] = \int_{-\infty}^{+\infty} x^{k} f_{X}(x,t) dx = m^{(k)}(t)$$

Distribuzione di probabilita' congiunta $f_{X_iX_j}(x_i, x_j; t_i, t_j), x_{i,j} = x(t_{i,j}), i \neq j$

Momenti: Complicati

Piu' importante: Funzione di auto-correlazione

$$R_{XX}(t_1, t_2) = \int_{-\infty}^{+\infty} \int_{-\infty}^{+\infty} x_1 x_2 f_{X_1 X_2}(x_1, x_2) dx_1 dx_2$$

Distribuzione di probabilita' congiunta $f_{X_iX_jX_k}(x_i,x_j,x_k;t_i,t_j,t_k), x_{i,j,k} = x(t_{i,j,k}), i \neq j \neq k$ e altre di ordine superiore: di solito non considerate

Ipotesi & Speranza:

Insieme dei momenti sufficiente a descrivere completamente il processo

Processo stazionario in senso allargato:

$$m(t), R_{XX}(t_1, t_2)$$
 costanti nel tempo

$$t \rightarrow t + T$$
:

$$m(t+T) = m(t) \rightarrow m = cost$$

$$R_{XX}\left(t_{1}+T,t_{2}+T\right)=R_{XX}\left(t_{1},t_{2}\right)\rightarrow R_{XX}\left(t_{1},t_{2}\right)=R_{XX}\left(t_{1}-t_{2}\right)\equiv R_{XX}\left(\tau\right)$$

 $\rightarrow m(t)$, $R_{XX}(t_1,t_2)$ caratterizzano completamente il processo stazionario

Teorema di Wiener-Kinchin:

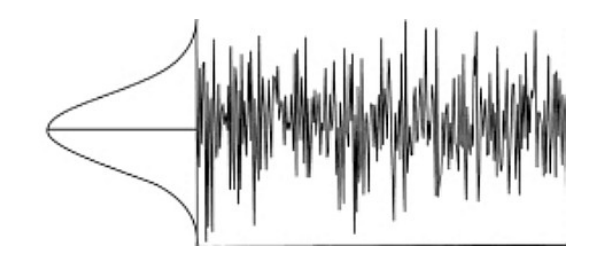
Valido per processi stocastici stazionari

$$R_{XX}(\tau) = \frac{1}{2\pi} \int_{-\infty}^{+\infty} |S(\omega)|^2 e^{j\omega\tau} d\omega$$

come per segnali deterministici

Esempio di processo stazionario gaussiano:

$$p(v) = \frac{1}{\sqrt{2\pi < v^2 > e^{-v^2/2 < v^2 < v^2 > e^{-v^2/2 < v^2 > e^{-v^2/2 < v^2 > e^{-v^2/2 < v^2 > e^{-v^2/2 < v^2$$



Tipi principali di rumore elettronico:

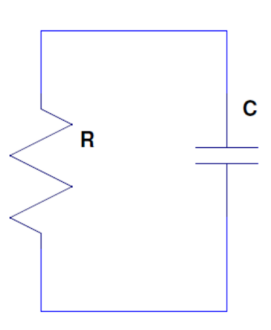
Termico (Johnson, Nyquist)

Shot (Schottky)

Flicker

Rumore termico:

Legato a 'moto browniano' degli elettroni di conduzione Osservato da Johnson e spiegato da Nyquist (anni '20) Derivazione alla van der Ziel:



Circuito RC parallelo:

Bilancio energetico da equipartizione dell'energia

$$\frac{1}{2}C\overline{V}^2 = \frac{1}{2}kT$$

Dimostrazione:

Campo elettrico in *C* trattato come sistema meccanico Possibile usare metodi caratteristici della meccanica statistica

Ipotesi: Stato di equilibrio termodinamico

Sistema in bagno termico a temperatura T

- \rightarrow Scambio di energia fra RC e termostato
- → Distribuzione statistica dell'energia del sistema

Distribuzione di Boltzmann:

$$P(E) \propto e^{-\frac{E}{kT}}$$

$$E = \frac{1}{2}CV^2 \rightarrow \text{Probabilita' di trovare il sistema con tensione fra } V \in V + dV:$$

$$dP = K_0 e^{-\frac{E}{kT}} dV = K_0 e^{-\frac{CV^2}{2kT}} dV$$

$$\text{Normalizzazione: } \int_{-\infty}^{+\infty} K_0 e^{-\frac{CV^2}{2kT}} dV = 1$$

$$x^2 = \frac{CV^2}{2kT} \rightarrow dx = \sqrt{\frac{C}{2kT}} dV \rightarrow \int_{-\infty}^{+\infty} K_0 e^{-\frac{CV^2}{2kT}} dV = K_0 \sqrt{\frac{2kT}{C}} \int_{-\infty}^{+\infty} e^{-x^2} dx$$

$$\int_{-\infty}^{+\infty} e^{-x^2} dx = A \rightarrow \int_{-\infty}^{+\infty} e^{-x^2} dx \int_{-\infty}^{+\infty} e^{-y^2} dy = A^2 \rightarrow \int_{-\infty-\infty}^{+\infty} e^{-x^2} e^{-y^2} dx dy = A^2$$

$$\rightarrow \int_{-\infty-\infty}^{+\infty} e^{-(x^2+y^2)} dx dy = \int_{0}^{2\pi} \int_{-\infty}^{+\infty} e^{-y^2} r dr d\varphi = -\frac{1}{2} e^{-y^2} \Big|_{0}^{\infty} 2\pi = \pi = A^2 \rightarrow A = \sqrt{\pi}$$

$$\rightarrow K_0 \sqrt{\frac{2kT}{C}} \sqrt{\pi} = 1 \rightarrow K_0 = \sqrt{\frac{C}{2\pi kT}}$$

$$\rightarrow dP = \sqrt{\frac{C}{2\pi kT}} e^{\frac{CV^2}{2kT}} dV \text{ prob. di avere tensione } (V, V + dV) \text{ su } C$$

$$\rightarrow dP = \sqrt{\frac{C}{2\pi kT}} e^{\frac{-CV^2}{2kT}} dV$$
 prob. di avere tensione $(V, V + dV)$ su C

$$\rightarrow \langle V^2 \rangle = \sqrt{\frac{C}{2\pi kT}} \left(\frac{2kT}{C} \right)^{3/2} \int_{-\infty}^{+\infty} x^2 e^{-x^2} dx$$

$$\int x^2 e^{-x^2} dx = \frac{1}{2} \int 2x^2 e^{-x^2} dx = -\frac{1}{2} \int x(-2x) e^{-x^2} dx$$

$$\begin{cases} u = x \\ dv = (-2x)e^{-x^2}dx \end{cases} \to \begin{cases} du = dx \\ v = e^{-x^2} \end{cases} \to \int x^2 e^{-x^2}dx = \left(-\frac{1}{2}\right) \left[xe^{-x^2} - \int e^{-x^2}dx\right]$$

$$\rightarrow \left\langle V^2 \right\rangle = \sqrt{\frac{C}{2\pi kT}} \left(\frac{2kT}{C} \right)^{3/2} \int_{-\infty}^{+\infty} x^2 e^{-x^2} dx = \sqrt{\frac{C}{2\pi kT}} \left(\frac{2kT}{C} \right)^{3/2} \frac{\sqrt{\pi}}{2} = kT \frac{1}{C}$$

$$\rightarrow \frac{1}{2}C\langle V^2\rangle = \frac{1}{2}kT$$
 OK

V: tensione stocastica, non prevedibile; solo probabilita'

V gen. ideale di tensione in serie a R, C

Problema: Distribuzione spettrale di $\langle V^2 \rangle$

Contributo elementare a $\left\langle V^{2}\right
angle$ dall'intervallo di frequenza d
u :

 $d\left\langle V^{2}\right\rangle =S\left(0\right) d
u$, $S\left(0\right) densita'$ spettrale di potenza associata a $\left\langle V^{2}\right\rangle$

 \rightarrow Contributo elementare a $\langle V_c^2 \rangle$:

$$d\left\langle V_{C}^{2}\right\rangle = d\left\langle V^{2}\right\rangle \left|\frac{1}{j\omega C}\right|^{2} = S(0)d\nu \left|\frac{1}{j\omega CR+1}\right|^{2} = S(0)d\nu \frac{1}{1+(\omega RC)^{2}}$$

$$\rightarrow d\left\langle V_{C}^{2}\right\rangle = \frac{S(0)}{2\pi} \frac{1}{1+(\omega RC)^{2}}d\omega \rightarrow \left\langle V_{C}^{2}\right\rangle = \frac{S(0)}{2\pi} \int_{0}^{\infty} \frac{1}{1+(\omega RC)^{2}}d\omega$$

$$x = \omega RC \rightarrow d\omega = \frac{dx}{RC} \rightarrow \left\langle V_{C}^{2}\right\rangle = \frac{S(0)}{2\pi RC} \int_{0}^{\infty} \frac{1}{1+x^{2}}dx = \frac{S(0)}{2\pi RC} \arctan x\Big|_{0}^{\infty}$$

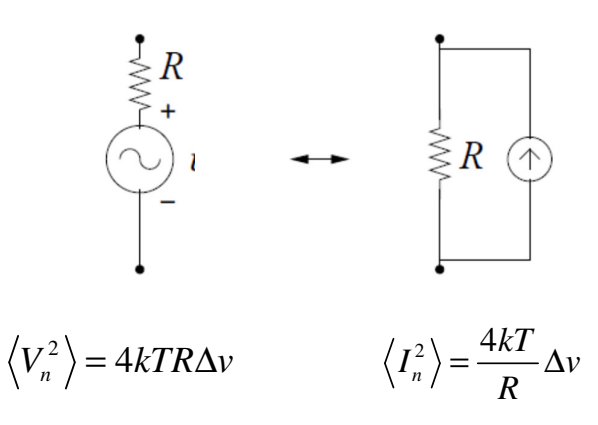
$$\rightarrow \left\langle V_{C}^{2}\right\rangle = \frac{S(0)}{2\pi RC} \frac{\pi}{2} = \frac{S(0)}{4RC} = \frac{kT}{C} = \left\langle V_{R}^{2}\right\rangle$$

$$\rightarrow S(0) = \frac{d\left\langle V_{R}^{2}\right\rangle}{d\nu} = 4kTR \quad V^{2}Hz^{-1} \text{ densita' spettrale} = \text{rumore bianco}$$

- S(0) indipendente da $\omega \rightarrow$ Rumore bianco
- S(0) indipendente da $C \rightarrow$ Origine in R

Modelli semplificati utilizzati nei circuiti:

Resistenza R priva di rumore + gen. ideale di tensione/corrente di rumore



A cosa serve *C* nella derivazione?

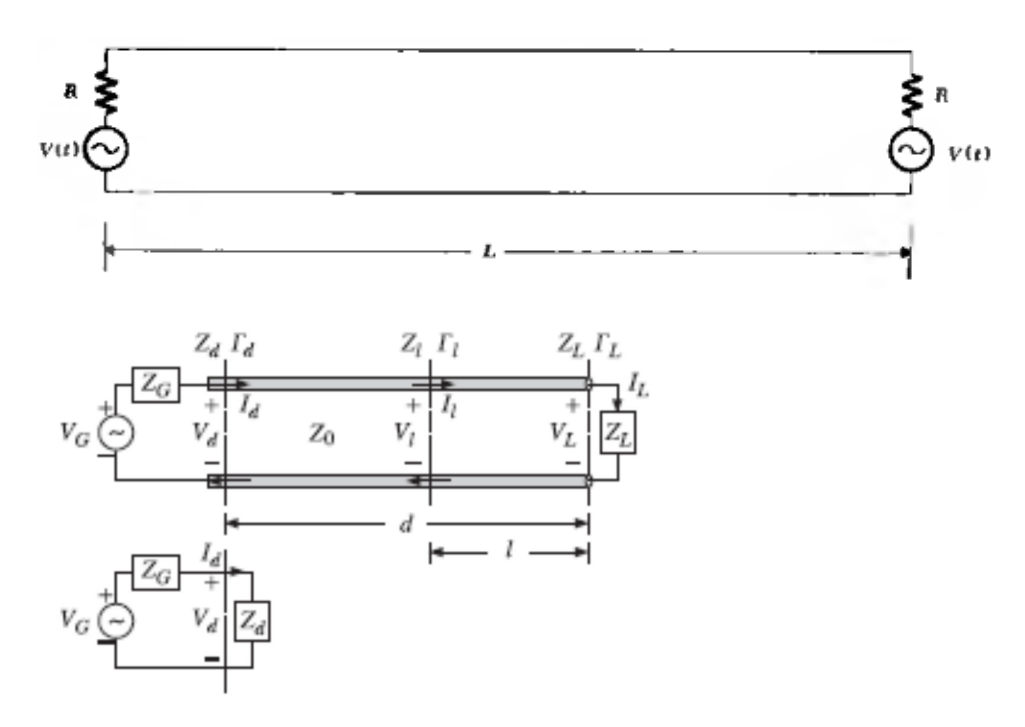
ightarrow A limitare la banda passante e ottenere cosi' un valore finito per $\left\langle V_{n}^{2}\right
angle$

In generale: $\langle V_n^2 \rangle \rightarrow \infty$ per banda passante $\rightarrow \infty$

Problema simile a quello dell'intensita' totale nello spettro del corpo nero

→ Necessita' di correzioni quantistiche

Derivazione della densita' spettrale del rumore termico, simile a quella di Nyquist: Linea di trasmissione ideale a temperatura T, impedenza caratteristica R, adattata ad entrambe le estremita'



Tensione all'estremo lontano e in un punto qualsiasi della linea:

$$\begin{split} V_{d} &= V_{G} \, \frac{Z_{0}}{Z_{0} + Z_{G}} \, \frac{1 + \Gamma_{d}}{1 - \Gamma_{G} \Gamma_{d}} \\ V_{L} &= V_{G} \, \frac{Z_{0}}{Z_{0} + Z_{G}} \, \frac{1 + \Gamma_{L}}{1 - \Gamma_{G} \Gamma_{d}} \end{split}$$

Linea adattata:

$$\begin{split} &\Gamma_d = \Gamma_G = \Gamma_L = 0 \\ &\rightarrow V_d = V_G \frac{Z_0}{Z_0 + Z_G} = \frac{V_G}{2}, V_L = V_G \frac{Z_0}{Z_0 + Z_G} = \frac{V_G}{2} \end{split}$$

Impedenza caratteristica: R

$$V(t) = V_0 e^{i(kx - \omega t)}$$

$$\frac{\omega}{k} = c'$$
 vel. di propagazione

Linea adattata $\rightarrow V(0) = V(L)$

$$\rightarrow e^{-i\omega t} = e^{i(kL-\omega t)} \rightarrow e^{ikL} = 1$$

$$\rightarrow kL = 2n\pi \rightarrow n = \frac{kL}{2\pi}$$
 n. modi di propagazione

$$\rightarrow n' = \frac{k}{2\pi} = \frac{\omega}{2\pi c'}$$
 n. modi di propagazione/lunghezza

$$n' = \text{ funzione di } \omega \sim \text{ f. continua} \rightarrow dn' \approx \frac{d\omega}{2\pi c'}$$

En. associata ai modi con freq. ω :

$$\varepsilon(\omega) = \frac{\hbar\omega}{e^{\frac{\hbar\omega}{kT}} - 1}$$
 formula di Planck

En. nella banda $(\omega, \omega + d\omega)$ incidente su R nel tempo dt:

$$dE_{inc} = \varepsilon(\omega) \cdot dn_{\text{modi}} = \frac{\hbar \omega}{e^{\frac{\hbar \omega}{kT}} - 1} \frac{d\omega}{2\pi c'} \underbrace{\frac{c'dt}{\text{lunghezza}}} = \frac{\hbar \omega}{2\pi \left(e^{\frac{\hbar \omega}{kT}} - 1\right)} d\omega dt$$

En. nella banda $(\omega, \omega + d\omega)$ emessa da R nel tempo dt:

$$dE_{em} = Pdt = \left\langle I^2 \right\rangle_{\omega} Rdt = \left\langle \left(\frac{V}{2}\right)^2 \right\rangle_{\omega} \frac{1}{R} d\omega dt, \quad \left\langle I^2 \right\rangle_{\omega}, \left\langle V^2 \right\rangle_{\omega} \text{ densita' spettrali}$$

Eq. termodinamico:

$$\rightarrow \frac{\left\langle V^{2}\right\rangle_{\omega}}{4R}d\omega dt = \frac{\hbar\omega}{2\pi\left(e^{\frac{\hbar\omega}{kT}} - 1\right)}d\omega dt$$

$$\rightarrow \frac{\left\langle V^{2}\right\rangle_{\omega}}{4R} = \frac{\hbar\omega}{2\pi\left(e^{\frac{\hbar\omega}{kT}} - 1\right)} \rightarrow \left\langle V^{2}\right\rangle_{\omega} = \frac{4R\hbar\omega}{2\pi\left(e^{\frac{\hbar\omega}{kT}} - 1\right)}$$

 ω piccola, T grande:

$$\hbar\omega \ll kT \rightarrow \varepsilon(\omega) \sim kT$$

$$\rightarrow \langle V^2 \rangle_v = \frac{1}{2\pi} \langle V^2 \rangle_\omega = 4RkT$$
 Densita' spettrale

Su banda finita: Planck ≈ Pre-Planck

$$\langle V^2 \rangle_{\Delta V} = 4RkT\Delta V$$
 OK

Su tutte le frequenze: Planck obbligatorio

$$\langle V^2 \rangle = \frac{1}{2\pi} \int_0^{\infty} \frac{4R\hbar\omega}{e^{kT} - 1} d\omega$$

$$x = \frac{\hbar\omega}{kT} \rightarrow dx = \frac{\hbar}{kT} d\omega \rightarrow d\omega = \frac{kT}{\hbar} dx$$

$$\Rightarrow \langle V^2 \rangle = \frac{4R(kT)^2}{2\pi\hbar} \int_0^{\infty} \frac{x}{e^x - 1} dx$$

$$\int \frac{x}{e^x - 1} dx = \int \frac{xe^{-x}}{1 - e^{-x}} dx$$

$$\int \frac{x}{e^x - 1} dx = \int \frac{xe^{-x}}{1 - e^{-x}} dx$$

$$\int \frac{xe^{-x}}{1 - e^{-x}} dx = \int xe^{-x} \int_{n=0}^{\infty} e^{-nx} dx = \sum_{n=0}^{\infty} \int xe^{-nx} dx = \sum_{n=0}^{\infty} \int xe^{-(n+1)x} dx$$

$$\begin{cases} u = x & du = dx \\ dv = e^{-(n+1)x} dx & \forall v = -\frac{1}{n+1} e^{-(n+1)x} \\ \Rightarrow \int xe^{-(n+1)x} dx = -\frac{x}{n+1} e^{-(n+1)x} \left(x + \frac{1}{n+1}\right) \\ \Rightarrow \int_0^{\infty} xe^{-(n+1)x} dx = -\left[\frac{1}{n+1} e^{-(n+1)x} \left(x + \frac{1}{n+1}\right)\right]_0^{\infty} = -\left[0 - \frac{1}{(n+1)^2}\right] = \frac{1}{(n+1)^2}$$

$$\Rightarrow \sum_{n=0}^{\infty} \frac{1}{(n+1)^2} = \sum_{n=0}^{\infty} \frac{1}{k^2} = \zeta(2) = \frac{\pi^2}{6} \quad \text{Funzione } \zeta \quad \text{di Riemann}$$

(Dimostrazione (di Eulero) difficile...)

$$\rightarrow \left\langle V^{2} \right\rangle = \frac{4R(kT)^{2}}{2\pi\hbar} \int_{0}^{\infty} \frac{x}{e^{x} - 1} dx = \left\langle V^{2} \right\rangle = \frac{4R(kT)^{2}}{2\pi\hbar} \frac{\pi^{2}}{6} = \frac{\pi Rk^{2}T^{2}}{3\hbar}$$

Simile a problema spettro del corpo nero:

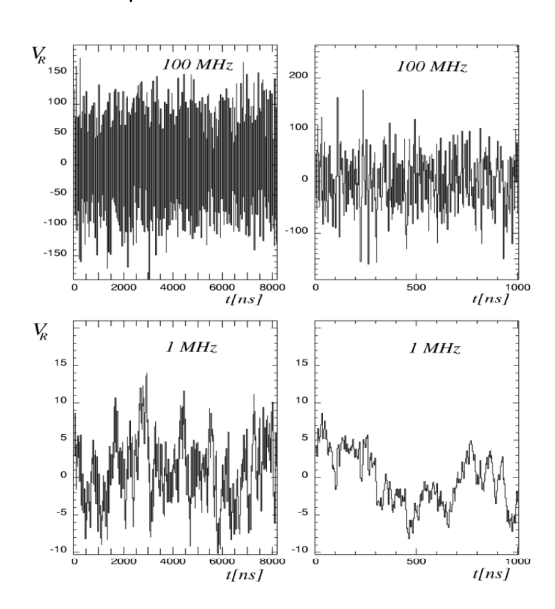
Uso della formula di Planck $\rightarrow \langle V^2 \rangle$ finito

Esempi:

$$R = 1M\Omega \quad 0 - 100MHz$$

$$\langle V^2 \rangle \simeq 1.710^{-6} V^2$$

$$V_{rms} = \sqrt{\left\langle V^2 \right\rangle} \simeq 1300 \mu V$$



[Scala verticale: Unita' arbitrarie]